

九州工業大学 正員 渡辺義則
 北九州市 今坂一春
 東京大学 正員 角知憲

1. まえがき

本報告で用いる道路交通騒音の予測計算モデル（線形モデルと仮称）は多入力線形系の諸性質を利用する。従って、原理的には信号機などの外乱を受けて変動する道路交通流からの騒音予測が可能である。また、道路周辺の環境により複雑に変化する伝搬特性は、交通流と騒音の観測結果からランダムデータの統計的処理手法を利用して推定するので、普段の交通を妨害しないで、隋意の時期に、隋意の道路区間の伝搬特性を把握可能である。このような性質をもつ線形モデルの適用性をモンテカルロ法を利用して机上で検討してきたが、更に実際の道路区間で検討したので、その結果を報告する。

2. 騒音並びに交通特性の測定

測定は郊外を通過

する国道（対向2車線）を行った。現場付近の道路構造は直線に近く、縦断勾配も周辺構造物も殆んどない。騒音は図-1 の箇所で粗略騒音計で動特性fastで測定して、騒音レベル（dB (A)）の瞬時値を求めた。車両走行速度と車両長はカメラ（8mm, 5秒/枚）を用いて求めた。車種はナンバーから大型車類、小型貨物車類、乗用車類に分類した。車両の発生時刻と騒音波形はデータレコーダに騒音と同時に、車両通過に同期した電気信号を収録して

表-1 測定条件

対応させた。表-2 に交通特性を示す。

これまで車両が観測

点に最も近づいた時

に騒音レベルがピー

クを示すこと（音源

	ケース1	ケース2
角度	12°13'30"	19°13'40"
高さ	道路面より 0.6 m 地表面より 1.2~1.7 m	道路面より 0.3 m 地表面より 0.6~1.4 m
データ長	900秒	1024秒
環境	稍狭い田園	刈り入れのすんだ田園

の無指向性）を仮定して解析してきた。しかし現実には、大型車類はピーカーが車頭より遅れて出現することが多く、指向性を考慮する必要がある。しかし、現段階ではその性状を把握していないので、簡単な近似として、車両の最後尾が車線の中央線と観測点からそれに下した垂線との交点を通過する時刻をもって車両発生時刻と考えた。次に、観測点が道路に近い場合にはサンプリング時間ATを短くして精度を向上する必要があるが、現実には車両は点ではなくて4~10m程度の長さをもち、指向性も個々に異なりるので、ATを短くすればするほど指向性を考慮にいれる必要がある。しかし、本報告のモデルはこれに対応できることはほど精密なモデルではないので、次のような読み取り方法を考えた。いま、騒音レベルの瞬時値をATごとに読み取る。このとき波形の読み取りパターンは図-2のよう種類が考えられる。なお図中●はATごとの読み取り位置であり、○は●から±AT/2のそれである。①(a)(b)のように●が△より大きいか、または△より小さい場合には●を読み取る。②(c)(d)の場合には、(i) (c-1)のように次のパターンが単調に変化するか、または(a)(b)の場合には●を読み取る、(ii) (c-2)の場合には波形のピーカーが出ている時間の方へ最大の○の値を与える、それを読み取り値とする、(iii) (c-3)のように波形のピーカーと△が

表-2 交通特性

測量 車線	交通量 (V.P.H)	速度(km/h)		混入率(%)		
		平均値	標準偏差	大型車類	小型貨物車類	乗用車類
T-1 車線 T-2 車線	687	47.2	5.4	28	26	46
	697	46.6	5.9	32	20	48
T-1 車線 T-2 車線	769	44.5	6.2	25	10	65
	687	43.6	6.4	29	11	60

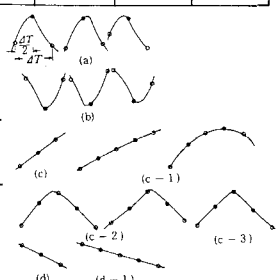


図-2 波形の読み取り

一致する場合には2つの●で大きい方の時間へ最大の○の値を与える、それを読み取り値とする。

3. 駆音の予測とその精度

性と駆音の同時測定データから対象道路区間の者の伝搬特性を推定した。なお、 $\Delta T = 2$ 秒、最大遅れ時間6秒、全データ長は表-1に示す。図-3に荷重関数の推定値を示す。なお、荷重関数は $t=0$ に関して対称であると仮定している。次に、推定された荷重関数を使って駆音を予測し、実測結果と比較した。勿論、荷重関数の推定に用いたデータは比較の対象から除外する。また、ここでは両車線走行する車輛を入力、観測点の音の強さを出力とする2入力1出力の定係数線形系を考えている。なお、荷重関数が負の値をとることには物理的には不合理であるので、計算に用いる荷重関数は図-3で $t=0$ から正の値をとる範囲を用い、それ以外の時刻における荷重関数の値は零とした。このようにすれば荷重関数が4~40秒の範囲でしか正の値を待たないので、4~40秒以外の車頭時間が生じた場合には予測計算値はたゞ短時間であっても零となり現実と非常に異なる。そこで駆音レベルの瞬時値の最低値

を暗駆音レベルと考えた。表-3に予測計算値と実測値を比較して示す。これまで、① $L_{90.9}$ 一部を除いて、瞬時値、 L_{10} 、 L_{50} 、 L_{90} 、 L_{eg} 各種統計量とともに路肩から離れた位置でも、かなりの精度で予測可能である。② 一般に予測計算値のほうが実測値より小さく傾向にある。これは前報の検討結果から推察すれば、音源とくに大型車類のパワー・レベルの変動に起因する誤差が主な原因と考えられる。③ L_{10} は路肩に近いほうが、 L_{90} と瞬時値は遠い方が精度が大きともよいという傾向がある。とくに、 L_{eg} の精度が悪いのは、使用した荷重関数が短い時間範囲でしか正の値をもたず、残りの時間では

測定点 測定条件		M1・10m		M2・20m		M3・40m		M4・80m	
		T-S1	T-S2	T-S1	T-S2	T-S1	T-S2	T-S1	T-S2
瞬時値	残差の 標準偏差	1.0	1.0	1.7	1.6	1.6	2.4	1.0	2.7
	同標準偏差	4.0	5.0	4.1	4.8	3.8	3.7	2.8	4.3
L_{10}	実測値	70.2	72.2	68.7	69.2	67.2	66.3	58.4	60.2
	計算値	70.2	72.9	68.0	69.5	64.7	63.6	56.1	57.2
L_{50}	実測値	63.0	64.4	62.7	62.2	62.1	61.6	54.5	56.9
	計算値	62.1	64.0	61.6	60.8	60.6	59.8	53.6	53.4
L_{90}	実測値	54.5	57.7	55.3	55.6	56.5	56.9	50.7	51.7
	計算値	49.5	53.5	49.9	51.7	54.1	53.0	49.7	48.2
L_{eg}	実測値	66.3	68.0	65.0	65.2	63.5	62.9	55.3	57.2
	計算値	65.5	68.0	63.7	64.2	61.5	60.6	53.8	54.1
暗駆音		49.0	53.4	49.0	49.0	49.0	49.9	49.0	45.3

零と仮定したことによる原因がある。因みに、 L_{90} の予測計算値は暗駆音レベルに近い。

大型車類の指向性の取扱い方の異なる検討、種々の道路構造並びに道路環境を持つ道路区間への適用可能性の確認など今後検討していく予定である。

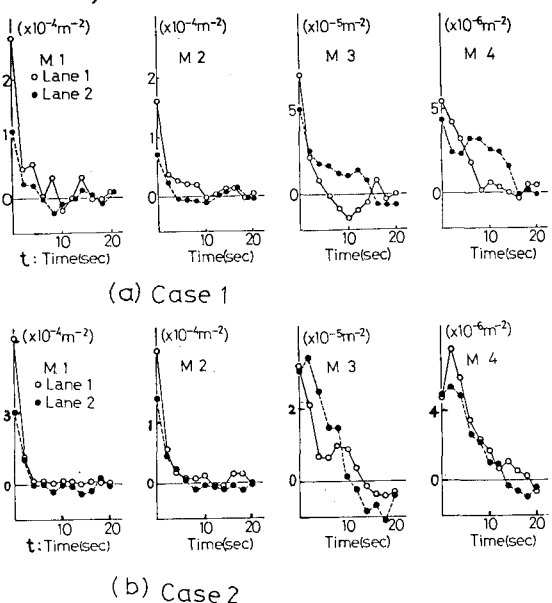


図-3 荷重関数の推定値

表-3 予測計算値と実測値の比較

- 1) 渡辺他：道路交通騒音の伝搬特性推定方法に関する一考察、第34回土木学会年次学術講演概要集Ⅱ
- 2) 渡辺他：平坦な道路区間ににおける道路交通騒音の予測について、土木学会西部支会昭和54年度研究発表会
- 3) 渡辺他：道路交通騒音の伝搬特性推定方法とその精度の検討、第35回土木学会年次学術講演概要集Ⅱ